

PRZEGLĄD ELEKTROTECHNICZNY

ORGAN STOWARZYSZENIA ELEKTRYKÓW POLSKICH

pod naczelnym kierunkiem prof. M. POŻARYSKIEGO.

Rok XV.

1 Lutego 1933 r.

Zeszyt 3.

Redaktor inż. WACŁAW PAWŁOWSKI

Warszawa, Czackiego 5, tel. 690-23.

O DOKŁADNOŚCI METODY PROSTOWNIKOWEJ PRZY POMIARACH WYSOKIEGO NAPIĘCIA.

Prof. K. Drewnowski i inż. J. L. Jakubowski.

Wskutek istnienia skomplikowanych źródeł uchybów metody prostownikowej nie można określić ich wielkości. Natomiast nietrudno jest wyznaczyć górną granicę uchybu w sposób opisany w niniejszej pracy, co może posiadać duże znaczenie praktyczne. Metoda określania granicy uchybu nie obejmuje uchybów skutkiem występowania wielu ekstremów krzywej napięcia w ciągu $1/2$ okresu. Sposoby praktycznego usuwania tych ostatnich uchybów dotychczas nie są znane.

1. Zasada metody i jej uchyby.

Metoda prostownikowa (rys. 1a) pozwala, jak wiadomo [1]¹⁾, określić wartość maksymalną wysokiego napięcia (U_m) przy pomocy jednego odczytu, jeśli 1) znana jest pojemność C i częstotliwość f mierzonego napięcia; 2) krzywa napięcia posiada w ciągu okresu tylko 2 ekstrema, przyczem wartości maksymalne napięcia (ujemna i dodatnia) są jednakowe. Wzór na U_m można wyprowadzić dla przypadku idealnego, t. j. gdy 3) wentyle nie działają jednocześnie; 4) spadek napięcia na wentylach i mikroamperomierzu jest zawsze równy zeru; 5) niema upływności i pojemności między osłoną a doprowadzeniem.

Dla przypadku idealnego zależność między U_m , C , f oraz wskazaniem (J) mikroamperomierza, mierzącego wartość średnią, jest:

$$U_m = \frac{J}{2fC} \dots \dots \dots (1)$$

Jeśli którykolwiek z warunków 3) do 5) nie jest spełniony, wzór (1) przestaje być ściśły, a posługując się nim, popełniamy uchyb.

Przez dobór odpowiednich kenotronów można zmniejszyć napięcie na układzie kenotronów przy przepływie prądu z kondensatora C . Do 0 nie doprowadzimy go nigdy, musimy zatem uważać kenotrony za zmienną oporność rzeczywistą. Również oporności mikroamperomierza nie możemy zmniejszyć do 0, ani też pozbyć się pojemności i upływności między osłoną a doprowadzeniem. Warunek 3) może być spełniony praktycznie przez stosowanie odpowiednich kenotronów ciemnozarzających się, przez które płynie prąd $= 0$ dla napięcia anodowego $= 0$ (por. [1]).

Biorąc pod uwagę te czynniki, które zawsze występują, możemy ułożyć równania różniczkowe dla rozplywu prądów w układzie praktycznym

(rys. 1b). Przymiując potencjał punktu N za zero, otrzymamy

$$i_c = C \frac{d}{dt} (u - u_k)$$

$$i_c = i + C_k \frac{du_k}{dt} + \frac{u_k}{R_k}$$

$$i = C \frac{du}{dt} - (C + C_k) \frac{du_k}{dt} - \frac{u_k}{R_k} \quad (2)$$

W powyższym równaniu u_k zawiera spadek napięcia na kenotronach i na mikroamperomierzu.

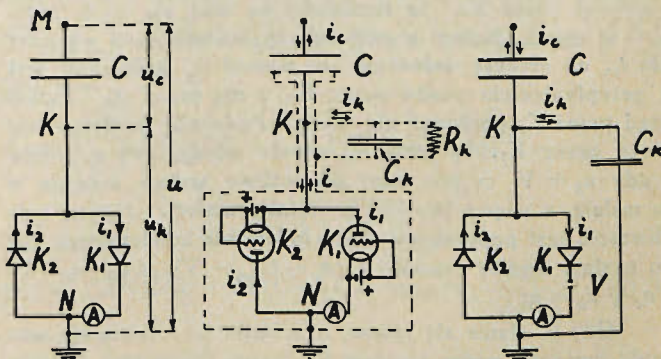
Wskazanie mikroamperomierza

$$J = \frac{1}{T} \int_0^T (i > 0) dt.$$

Uchyb wskazania

$$\Delta J = 2fCU_m - f \int_0^T (i > 0) dt.$$

Uchybu tego nie można określić analitycznie, nawet znając zależność u_k od i oraz wielkość C_k , R_k , ponieważ $\int_0^T (i > 0) dt$ zależy od przebiegu krzywej $u = f(t)$, naogół nieznanego.



Rys. 1a.

Rys. 1b.

Rys. 1c.

Układ idealny (1a), praktyczny (1b) i idealny zmodyfikowany przez Königą (1c). Na rys. 1c + baterji V należy połączyć z katodą kenotronu K_1 .

¹⁾ Liczby w nawiasach [] odnoszą się do literatury, podanej na końcu.

2. Określenie uchybu metodą H. Königa.

H. König w nader głęboko ujętej pracy [2] zajmował się wielkością uchybu ΔJ , gdy spełnione są warunki 2), 3) i 4) oraz gdy $R_k = \infty$, ale $C_k \neq 0$. Rozważał on przebieg krzywych $u_c, u_k, i = f(t)$ dla dowolnie założonej krzywej $u = f(t)$ odpowiadającej warunkowi 2). W układzie Königa w szeregu z jednym z kenotronów jest włączona bateria o napięciu V (rys. 1c). Rys. 2 przedstawia krzywe, gdy napięcie włączono w chwili t_0 ; od chwili t_1 wartości napięć i prądów powtarzają się co 1 okres. Od tej chwili mamy więc do czynienia ze stanem ustalonym. Omawiane krzywe można wyznaczyć, pamiętając, że 1) zawsze, gdy działa wentyl K_1 lub K_2 (rys. 1c), prąd ładowania C_k równa się 0; 2) gdy nie może działać żaden z wentyli, prąd płynie przez C_k ; 3) wentyl K_1 może zacząć działać tylko wtedy, gdy $u_k = V$ i gdy u rośnie, a wentyl K_2 — gdy $u_k = 0$ i gdy u maleje²⁾.

Z rys. 2 wynika, że dla tego przypadku wartość średnia prądu, płynącego przez mikroamperomierz (pole zakreskowane na rys. 2)

$$J = fC \left(2U_m - \frac{C + C_k}{C} V \right) \dots (3)$$

Znając f, C, C_k i V , można więc w opisywanym przypadku idealnym przy pomocy jednego odczytu J określić U_m .

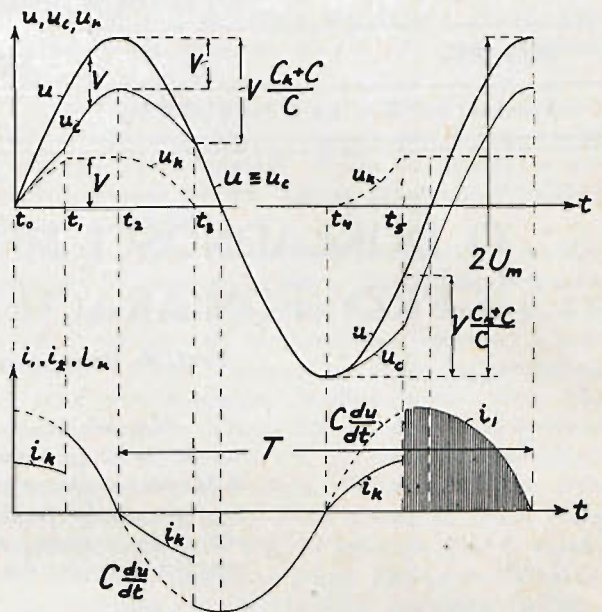
Wychodząc z założenia, że układ praktyczny odpowiada w przybliżeniu idealnemu, do którego stosuje się równanie (3), König wyznaczył doświadczalnie (wentyle = kenotrony, R_k b. duże) zależność J od V dla szeregu krzywych $u = f(t)$. Jako napięcie V na wykresach przyjmujemy napięcie baterji rzeczywiście włączonej do układu; część tego napięcia to V' , wielkość niezbędna do

²⁾ Rozumowań prowadzących do wyznaczenia przebiegu krzywej $u_c = f(t)$ König [2] nie podaje, mimo iż odznaczają się dużą oryginalnością. Dla chcących przestudjować w oryginale trudno ujętą pracę Königa będzie dużym ułatwieniem zapoznanie się z metodą omawianych rozumowań. Jako przykład podajemy ich fragment: wytlumaczenie przebiegu krzywych w czasie od t_2 do t_3 .

Przed chwilą t_2 prąd płynął przez K_1 , napięcie na C było więc równe $u_c = u - u_k = u - V$. Od chwili t_2 prąd nie może płynąć ani przez K_1 , ani przez K_2 . Gdyby prąd popłynął przez K_2 , to musiałoby u_k stać się = 0, czyli $u_c = u$; aby u_c było = u musiałoby u_c wzrosnąć od wartości dla t_2 , co przeczy założeniu, bo wzrost u_c połączony jest z przepłynięciem prądu przez K_1 , a nie przez K_2 . Zatem prąd przez K_2 popłynąć nie może. Podobnie popłynąć nie może przez K_1 , bo przez K_1 płynie wtedy, gdy u_c rośnie i gdy $u_k = V$, co jest tutaj niemożliwe wobec malenia u (u maleje, a więc $i(u - V)$ musiałoby maleć). Jediną możliwością jest popłynięcie prądu ładowania kondensatora C_k , co nastąpi według wzorów: $C[u_c - (U_m - V)] = C_k(u_k - u)$ i $u_c + u_k = u$.

Gdy u_c stanie się równe u (chwila t_3), zjawia się warunki możności pracy wentyla K_2 : przez ten wentyl zaczną płynąć prąd taki, jakgdyby C_k nie istniało ($i_2 = C \frac{du}{dt}$). Dla t_3 $u = u_c = U_m - \frac{C + C_k}{C} V$; wielkość ta wchodzi do wzoru (3).

rozdzielenia zakresu wspólnej pracy kenotronów (König używał lamp jasnożarzących się). Wykresy, otrzymane przez Königa, są bardzo ciekawe; wynika z nich, że krzywe $J = f(V)$ dla róż-



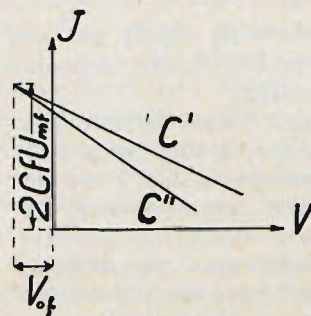
Rys. 2.

nych $C_k = \text{const}$ są prawie prostymi i że przecinają się w jednym punkcie na lewo od osi $V=0$ (rys. 3).

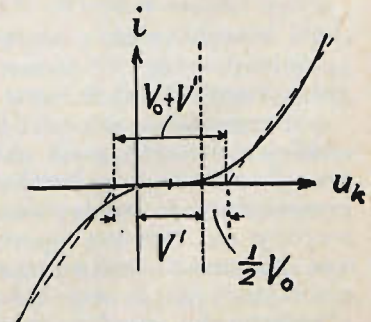
König wnioskuje stąd, że rzeczywiście działające napięcie V jest większe, niż napięcie baterji, włączonej do układu i tłumaczy to w ten sposób, że układ kenotronów można zastąpić 2 wentylami idealnymi o stałych opornościach i napięciem $V_0 + V'$, włączonym w szeregu z jednym z nich (rys. 4). Przy takim założeniu prąd, zmierzony w warunkach normalnych ($V = V'$), będzie

$$J \cong 2fCU_m \left[1 + w - \frac{V_0 + V'}{2U_m} \left(1 + \frac{C_k}{C} \right) \right], \dots (4)$$

przyczem w oznacza uchyb wskutek oporności zaworów, $\frac{1}{2} V_0$ — napięcie własne 1 zaworu.



Rys. 3.



Rys. 4. (König [2]).

Wyniki pomiarów Königa można ująć jeszcze innym wzorem:

$$J = 2fCU_{mf} \left[1 - \frac{V_{0f} + V'}{2U_{mf}} \left(1 + \frac{C_k}{C} \right) \right]. \dots (5)$$

Wzór powyższy stanowi analogję matematyczną do (3). Wielkości U_{mf} i V_{0f} są fikcyjne, nie posiadają znaczenia fizycznego, ale zato można je łatwo

wyznaczyć doświadczalnie. W U_{mf} i V_{of} ukryty jest uchyb ω , różnią się więc one od U_m i V_0 ³⁾. Według pomiarów Königa U_{mf} jednak bardzo mało odbiega od U_m ; dlatego König zaleca także w przypadku, gdy V wystarcza tylko do rozdziału pracy kenotronów (normalna praca układu; $V = V'$), wyznaczanie $2fU_{mf}$, jako rzędnej przecięcia się 2 prostych $J = f(V)$ dla 2 różnych wartości C_k , i utożsamianie U_{mf} z U_m .

Rezultaty Königa, dotyczące przybliżonej równości U_{mf} i U_m , jak również istnienia zależności $J = f(V)$ pod postacią równania (5)⁴⁾ posiadają charakter wyłącznie empiryczny. Błąd ΔJ w rzeczywistości zależy od kombinacji 5 czynników: C, C_k, R_k , przebiegu $u = f(t)$ i $i = f(u_k)$. [porównaj równanie (2)]. Oczywiście König nie mógł zbadać wszystkich kombinacji praktycznie możliwych, zatem nie jest wykluczone, że poprawki, oparte na równaniu (5), mogą zawieść w szeregu przypadków praktycznych.

Przy ocenie metody Königa należy zwłaszcza wziąć pod uwagę, że w praktyce używa się różnych kenotronów (ograniczenie metody Königa tylko do kenotronów przez niego używanych) i że R_k bardzo często nie jest $= \infty$, a nawet może osiągnąć rząd wielkości $\frac{1}{\omega C_k}$ przy 50 okr.⁵⁾. Wskutek powyższych zastrzeżeń b. cenne wyniki pomiarów Königa posiadają znaczenie częściowo lokalne.

3. Wyznaczenie górnej granicy uchybu.

Względy, omówione na końcu poprzedniego rozdziału, skłoniły autorów do pójścia w kierunku opracowania metody, któraby pozwoliła określać górną granicę uchybu mierzonego napięcia. Wyznaczenie tej granicy dla różnych napięć, po uruchomieniu metody prostownikowej w laboratorium przemysłowym, pozwala usunąć elementy nieprawidłowe i zwiększyć w ten sposób dokładność pomiaru.

Punktem wyjściowym tej metody jest wzór (2). Wyrażenie na granicę uchybu, wyprowadzone niżej, można stosować tylko do kenotronów ciemnozarzających się, dla których $u_k = 0$, gdy $i = 0$. Przy stosowaniu kenotronów jasnozarzających się należy w tem wyrażeniu wprowadzić zmiany, czem nie zajmujemy się, ponieważ naszym zdaniem takich kenotronów stosować nie należy [1]. Dla kenotronów, wykazujących $u_k = 0$ dla $i = 0$, bateria dla rozdzielenia zakresu pracy jest zbędna, $V' = 0$, a więc w myśl rozważań Königa możemy mówić

³⁾ Według bardzo dokładnych badań Königa nawet V_0 nie jest, ściśle biorąc, wielkością stałą. Dla danego kenotronu V_0 zależy przy $J = \text{const}$, a różnych U_m od C oraz przy $C = \text{const}$ od wykorzystania charakterystyki kenotronu, czyli od U_m . Świadczy to, że i w V_0 jest wielkością do pewnego stopnia fikcyjną.

⁴⁾ Trzeba pamiętać, że przebieg $J = f(V)$ doświadczalnie możemy wyznaczyć tylko dla $V > V'$; dla $V < V'$ przedłużamy krzywe $J = f(V)$ w założeniu, że są to proste.

⁵⁾ Oporność powierzchniowa izolacji między osłoną kondensatora wysokiego napięcia, a częścią pomiarową może spaść nawet do 5 MΩ w warunkach wybitnie niekorzystnych (kurz, wilgoć).

tylko o V_0 , wielkości dość nieokreślonej. Możliwość określenia uchybu metodą Königa dla tego przypadku zdaje się być całkowicie złudzeniem.

Aby określić granicę uchybu, zauważmy najpierw, że krzywa mierzonego napięcia posiada z założenia w ciągu okresu tylko 2 ekstrema. Nie jest prawdopodobne, nawet dla krzywych $u=f(t)$ bardzo odkształconych, dla których np. $\frac{du}{dt}$ zbliża

się do 0 kilka razy w ciągu $\frac{1}{2}$ okresu, że prąd i będzie zmieniał znak częściej, niż jeden raz w ciągu $\frac{1}{2}$ okresu. Prościej jednak, niż udowodnić to, będzie założyć, że prąd i posiada kilka przejść przez 0 w ciągu $\frac{1}{2}$ okresu, gdyż nawet przy tem założeniu uchyb graniczny wypadnie taki sam, jak dla jednego przejścia przez 0. Dla przyjętego przez nas przebiegu prądu istnieje więc w ciągu okresu kilka nie zachodzących na siebie zakresów t , w których prąd jest dodatni. Początek każdego takiego zakresu oznaczymy przez t' , koniec przez t'' .

Wskazanie mikroamperomierza będzie:

$$J = \frac{1}{T} \int_0^T (i > 0) dt =$$

$$= \frac{1}{T} \sum \int_{t'}^{t''} \left[C \frac{du}{dt} - (C + C_k) \frac{du_k}{dt} - \frac{u_k}{R_k} \right] dt =$$

$$= \frac{1}{T} \sum \int_{t'}^{t''} C du - \frac{1}{T} \sum \int_{t'}^{t''} (C + C_k) du_k -$$

$$- \frac{1}{T} \sum \int_{t'}^{t''} \frac{u_k dt}{R_k} = fC \sum (u'' - u') +$$

$$- f(C + C_k) \sum (u_k'' - u_k') - \frac{f}{R_k} \sum \int_{t'}^{t''} u_k dt.$$

Z założenia $u_k = 0$, gdy $i = 0$, a więc $u_k' = u_k'' = 0$. Następnie suma różnic $(u'' - u')$ nie może być nigdy większa od $2 U_m$, jeżeli, jak tutaj, zakresy $t'' - t'$ nie zachodzą na siebie. $\sum \int_{t'}^{t''} u_k dt$ jest zawsze większa od 0, bo u_k ma taki sam znak, jak i . Ostatecznie

$$J < 2fCU_m \dots \dots \dots (6)$$

Wzór (6) pokazuje, że wskazanie mikroamperomierza w układzie idealnym jest górną granicą wskazań w układzie praktycznym.

Aby wyznaczyć dolną granicę J , określamy najpierw wielkość całki $\int_{t'''}^{t''''} i dt$ przyczem chwile t''' i t'''' odpowiadają kolejnym przejściom $C \frac{du}{dt}$ przez 0.

$$J' = \int_{t'''}^{t''''} i dt = 2fCU_m - f(C + C_k) (u_k'''' - u_k''') -$$

$$- f \int_{t'''}^{t''''} \frac{u_k}{R_k} dt$$

$$\min J' > 2fCU_m - 2f(C + C_k) |u_{km}| - \frac{|u_{km}|}{2R_k}. \quad (7)^6)$$

⁶⁾ Zakładając, że $u_k = \pm u_{km}$, gdy $C \frac{du}{dt} = 0$, naogół przeceniamy znacznie wielkość uchybu, gdyż w większości przypadków praktycznych u_k w chwili, gdy $C \frac{du}{dt} = 0$, jest bliższe 0, niż u_{km} .

We wzorze (7) przez $|u_{km}|$ oznaczono bezwzględną wielkość największej chwilowej wartości u_k .

Zważywszy, że całka $\sum \int_{r'}^{r''} i dt = \int_0^T (i > 0) dt$ jest większa od całki $\int_{r''}^{r'''} i dt$, otrzymamy $J > J'$ oraz $J > \min J'$.

Ostatecznie

$$J < 2fCU_m$$

$$J > 2fCU_m - 2f(C + C_k) |u_{km}| - \frac{|u_{km}|}{2R_k}$$

Określając U_m ze wzoru (1), jako granicę górną uchybu otrzymamy:

$$\pm \frac{\Delta U_m}{U_m} = \frac{\Delta f}{f} + \frac{\Delta C}{C} + \frac{\Delta J}{J} \quad (8)$$

przyczem

$$+ \frac{\Delta U_m}{U_m} = \frac{\Delta f}{f} + \frac{\Delta C}{C} + \frac{2f(C + C_k) |u_{km}|}{J} + \frac{|u_{km}|}{R_k J} + \frac{\Delta \alpha}{\alpha} \quad (8a)$$

$$- \frac{\Delta U_m}{U_m} = \frac{\Delta f}{f} + \frac{\Delta C}{C} + \frac{J_0}{J} + \frac{\Delta \alpha}{\alpha} \quad (8b)$$

We wzorach powyższych $\Delta \alpha$ oznacza uchyb odczytu i wskazania mikroamperomierza. Osobne omówienie należy się wielkości J_0 . Jest to znikomo mała wielkość prądu, który płynie przy zwarciu kenotronu. Rząd jego wielkości — kilka 10^{-6} A dla odpowiednio połączonych lamp B.409 (rys. 1b). Obliczając uchyb graniczny w założeniu, że J_0 płynie przez cały okres (niemożliwe) przeceniamy znacznie jego wielkość; mimo to składowy uchyb graniczny $\frac{J_0}{J}$ jest do pominięcia wobec innych.

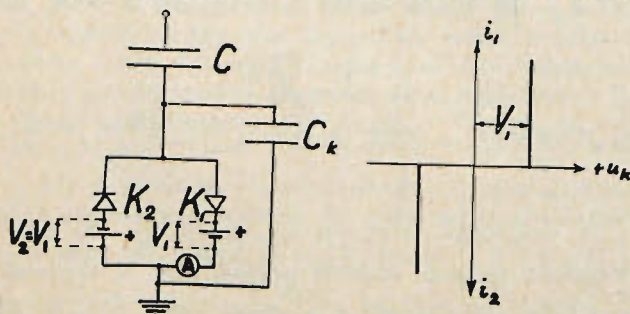
Wielkość ta może grać pewną rolę przy użyciu innych kenotronów, niż zastosowane przez autorów; dlatego włączamy ją do wzoru na uchyb graniczny.

Wzór (8) na uchyb może mieć znaczenie praktyczne, o ile 1) granice uchybu nie wypadają zbyt duże w stosunku do rzeczywistego uchybu (uchyb nie jest przeceniony); 2) wielkość u_{km} , C_k , R_k można zmierzyć.

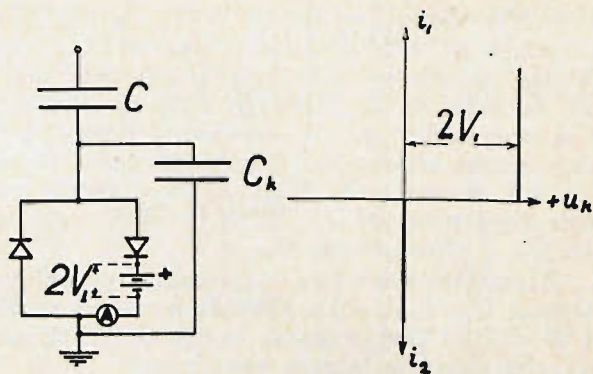
Górna granica uchybu ze względu na C_k jest osiągnięta w przypadku, gdy $R_k = \infty$ i wentyle są idealne, oraz gdy w szereg z każdym wentylem jest włączona bateria o napięciu $V_1 = V_2$ (rys. 5a). Górna granica uchybu wynosi wtedy

$$\Delta J = 2fCU_m - J = f(C + C_k) \cdot 2V_1$$

To samo otrzymujemy ze wzoru K ö n i g a (3), jeśli założymy w nim $V = 2V_1$. Założenie to jest słu-



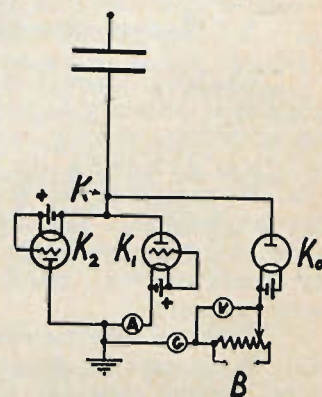
Rys. 5a.



Rys. 5b.

szne, gdyż układ z rys. 5a ma ten sam uchyb, co układ z rys. 5b. Równość uchybu granicznego i rzeczywistego wskazuje, że, jeśli wzór na uchyb graniczny ma obejmować wszystkie przypadki, nie może być zastąpiony innym, dającym mniejsze wartości uchybu.

Do pomiaru u_{km} nie możemy użyć zwykłego woltomierza, gdyż spowodowałby on praktycznie zupełne zwarcie układu kenotronów i napięcie u_k zniknęłoby. W Laboratorium Wysokich Napięć P. W. stosowano do tego celu zerowy układ kenotronowy (rys. 6), składający się z kenotronu dodatkowego K_0 , baterii B i galwanometru G. Aby zrozumieć zasadę jego działania, przypuśćmy najpierw, że charakterystyka $u = f(i)$ kenotronu K_0 przechodzi przez punkt $(u = 0, i = 0)$. Gdy napięcie baterii B jest równe 0, kenotron K_0 przejmie częściowo rolę kenotronu K_1 . Jeśli napięcie U_B baterii B zwiększyć, to dodatni (przy połączeniu, jak na rys. 6) prąd w K_0 zmaleje, gdyż płynie on tylko wtedy, gdy $u_k - U_B$ jest dodatnie. Gdy prąd ten stanie się równy 0, U_B będzie równe u_{km} . Ponieważ wtedy K_0 nie pobiera prądu, u_{km} ma tę samą wartość, jaką miało, gdy K_0 nie było włączone. Po zastosowaniu prostej modyfikacji postępowania można użyć jako K_0 kenotronu, dla którego $i \neq 0$ dla $u = 0$.



Rys. 6.
Sposób załączenia woltomierza kenotronowego. (Uwaga: — baterii B należy połączyć z końcówką galwanometru G).

Pomiar u_{km} nie jest dokładny, gdyż właściwie nie ustawiamy prądu woltomierza kenotronowego na 0 (ze względu na styczny przebieg charakterystyki $i = f(u)$ kenotronu K_0 do osi u), ale na niewielką wartość, która bardzo mało zmienia wskazanie badanego układu prostownikowego. Uchyb pomiaru u_{km} może osiągnąć np. 10%, co jednak jest bez wielkiego znaczenia, bo powoduje tylko uchyb uchybu.

Biorąc za podstawę do obliczenia uchybu C_k określone np. mostkiem Seibta i R_k zmierzone prądem stałym, dopełniamy nieścisłość dzięki temu, że tak otrzymane C_k i R_k są tylko wtedy dokładne, gdy nie występują straty w izolacji z materiału stałego. Ścisłe biorąc dielektryk stały stanowi

złożony układ kilku pojemności i oporności. Układ ten można zastąpić przez R_k i C_k , połączone równolegle, ale inne dla różnych częstotliwości (wyższych harmonicznych u_k). To zastrzeżenie natury teoretycznej nie odgrywa dużej roli w praktyce; możemy tutaj powtórzyć to samo, co przy omawianiu dokładności pomiaru u_{km} : uchyb określenia C_k i R_k powoduje tylko uchyb uchybu.

Znając u_{km} , C_k , R_k możemy określić granicę uchybu. Przykład obliczenia tej granicy przy pomiarze 100 kV_{max} podaje poniższe zestawienie:

$$\frac{\Delta f}{f} 100 \text{ (częstościomierz sprężynkowy)} \cdot \pm 0,5\%$$

$$\frac{\Delta C}{C} 100 \text{ (orientacyjnie)} \cdot \pm 0,1\%$$

$$\frac{2f(C + C_k) |u_{km}|}{J} 100 = \frac{2 \cdot 50 \cdot (8 + 784) \cdot 10^{-12} \cdot 1,2}{81 \cdot 10^{+6}} 100 \cdot \pm 0,12\%$$

$$\frac{|u_{km}|}{2R_k J} 100 = \frac{1,2}{2 \cdot (16,5 \cdot 10^{-6}) \cdot (81 \cdot 10^{-6})} 100 \cdot \pm 0,05\%$$

$$\frac{\Delta \alpha}{\alpha} 100 \text{ (} \text{)} \cdot \pm 0,2\%$$

$$\frac{J_0}{J} 100 = \frac{0,028 \cdot 10^{-6}}{81 \cdot 10^{-6}} 100 \cdot -0,03\%$$

Górna granica uchybu dodatniego:

$$0,5 + 0,1 + 0,12 + 0,05 + 0,2 = 0,97\%$$

Górna granica uchybu ujemnego

$$0,5 + 0,1 + 0,2 + 0,03 = 0,83\%$$

⁷⁾ Mikroamperomierz firmy Hartmann i Braun, ¹⁰ = = 0,88 · 10⁻⁶ A.

Z przykładu powyższego widać, że uchyb wskutek istnienia C_k i $\frac{1}{R_k}$ gra bardzo małą rolę; dotyczy to wszystkich układów prawidłowo zestawionych. W omawianym przykładzie, chcąc zwiększyć dokładność, należałoby przedewszystkiem poprawić dokładność pomiaru f , następnie zmniejszyć C_k .

4. Wnioski.

1. Stosowanie metody Königa nie daje pewności, czy wielkość określana jest rzeczywiście szukany uchybem.

2. Metoda autorów pozwala określić w sposób pewny górną granicę uchybu.

3. Dla układów prawidłowo zestawionych uchyby graniczne wskutek istnienia C_k i $\frac{1}{R_k}$ są pomijalne wobec innych.

LITERATURA.

[1] J. L. Jakubowski, Pomiar wysokiego napięcia w laboratoriach przemysłowych metodą prostownikową. (Przeł. El. 1933, Nr. 1 i 2, publikacja Z. M. E. i W. N. Nr. 28).

[2] H. König, Ueber die Fehler der Scheitelspannungs-Messung vermittelt röhrengleichgerichtetem Kondensatorstrom, (Helvetica Physica Acta, 1929, Vol. II, str. 357—410).

Dalsza literatura, zresztą nieliczna, podana jest w pracach wymienionych wyżej.

Praca powyższa została wykonana w Zakładzie Miernictwa Elektrotechnicznego i Wysokich Napięć Politechniki Warszawskiej w roku 1931.

RTECIOWE ZAWORY ELEKTRONOWE Z SIATKĄ STERUJĄCĄ I ICH ZASTOSOWANIE PRAKTYCZNE*).

Inż. August Smolański.

Przedmiotem niniejszego artykułu jest nowy, szybko rozwijający się dział współczesnej elektrotechniki, obejmujący rtęciowe zawory elektronowe, wyposażone w siatki sterujące. Podana jest zasada działania siatki sterującej i regulacji zaworów, następnie schematy i krótki opis zasadniczych układów z sterowaniami zaworami rtęciowymi.

Wstęp.

Pierwszy pomysł regulacji zaworów rtęciowych przez oddziaływanie na wzniecanie i przebieg wyładowania łukowego w zaworach pochodzi od wynalazcy zaworów rtęciowych Peter Cooper Hewitt'a, który podał kilka sposobów uskutecznienia tej regulacji. Pierwszy sposób, polegający na wzbudzaniu płamy świetlnej na powierzchni katody przez przesuwalne w fazie wznie-

canie pomocniczego wyładowania łukowego w obwodzie osobnej anody wzbudzającej, w zależności od czego powstawałoby opóźnienie chwili włączenia prądu anodowego w każdej otwartej części okresu poszczególnych anod, czyli tak zwane inicjalne sterowanie przy pomocy elektrody zapalającej, — nie okazał się praktycznym i poza laboratorium nie znalazł szerszego zastosowania. Natomiast pomysł sterowania zaworów rtęciowych przy pomocy siatki o regulowanym potencjale względem katody, która w wykonaniu Hewitt'a z r. 1905 miała postać koszyka drucianego, otaczającego anodę, okazał się bardzo szczęśliwym i pchnął rozwój

* Odczyt, wygłoszony na zebraniu Energetyków w Katowicach dnia 20.IX. 1932.